

部分貫入井戸による現場揚水試験の解析

岐阜大学工学部 正会員・佐藤 健
名古屋大学工学部 メンバ・植下 協

考え方 部分貫入井戸による現場揚水試験結果を解析する機会を得たので、従来からよく利用されてきた Hantush 法¹⁾による解析を試みたが、実際の帶水層厚さに比して異常に大きい帶水層厚値の推定されることになった。そこで、Hantush 法にくらべ、使用が平易で、しかも正確な帶水層定数と帶水層厚さを同時に推定できる図式解法について検討してみたりで以下に報告する。

2. 図式解法 Hantush 法¹⁾は上下面を完全に不透水層で覆われた被压带水層での地下水頭低下が、 $\bar{s} = \frac{Q}{4\pi T} \{ W(u) + \bar{f} \} \dots (1)$ $\bar{f} = \frac{2b^2}{\pi^2(a-d)(a'-d')} \sum_{n=1}^{\infty} \left(\frac{1}{n^2} (\sin \frac{n\pi a}{b} - \sin \frac{n\pi d}{b}) (\sin \frac{n\pi a'}{b} - \sin \frac{n\pi d'}{b}) \right) W(u, n\pi T/b) \dots (2)$ と表わされる事を示した。

$u = St^2/4\pi T$ が十分に小さい値ないと

式 (1) 式は

$$\bar{s} = \frac{Q}{4\pi T} \left\{ \ln \frac{2.5Tt}{St^2} + \sum_{n=1}^{\infty} R_n K_0(n\pi T/b) \right\} \dots (3)$$

$$R_n = \frac{4b^2}{\pi^2 n^2 (a-d)(a'-d')} (\sin \frac{n\pi a}{b} - \sin \frac{n\pi d}{b}) (\sin \frac{n\pi a'}{b} - \sin \frac{n\pi d'}{b}) \dots (4)$$

のようになる (図-1 参照)。

したがって、試験結果を半対数紙上 (横軸に t/t^* 、横軸に \bar{s}/s^*) にプロットし

て、Jacob 法による直線近似を行ふと、試験値は t/t^* の値が大きくなるにつれある直線上に載つてくることが期待される。

(3) 式と (4) 式とより差をとるとすれば、それは

$$\delta = -\frac{Q}{4\pi T} \sum_{n=1}^{\infty} \left\{ \frac{(-1)^n}{n\pi} u^n + R_n W(\beta/n\pi, \beta) / 2\pi \right\} \dots (5)$$

$$\beta = \pi T/b, W(\beta/n\pi, \beta) = \int_{-\infty}^{\infty} \left\{ \frac{1}{\pi} \exp(-x - \beta^2/4u) \right\} dx$$

と表わされる。それはより大きい値では負値だが、 u が小さくなると、符号が途中で正に変わり、正の側からゼロに漸近する。したがって、 $\delta = 0$ となる u (u_i とする) が存在し、その値は由式より推定できる。 (3) 式より直線近似式から求まる $\bar{s} = 0$ を与え t/t^* の値 ($(t/t^*)_i$ とする) を利用すれば、

$$(t/t^*)_i / (t/t^*)_o = 2.25 \exp \left\{ \sum_{n=1}^{\infty} R_n K_0(n\pi T/b) \right\} / 4u_i \dots (6)$$

なる関係が導かれる。 (5) 式において、 $a/r, a'/r, b/r$ 各値に対して $\delta = 0$ となるときの u_i の値を用ひれば、 (6) 式右辺の値が計算されるので、図-2 に示す

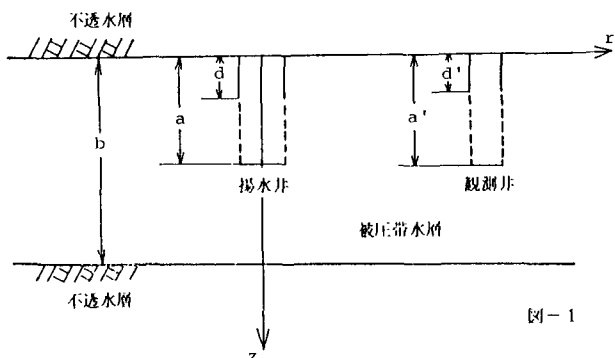
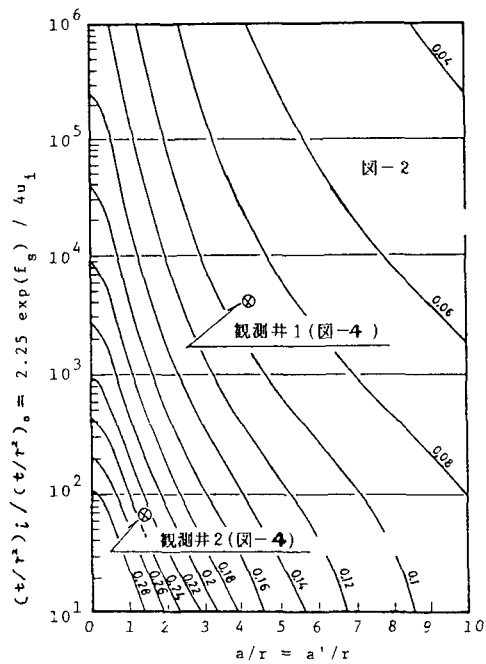


図-1



たより帶水層厚さ推定図が作成される。⑥式左辺の値は、Jacob 法による直線近似から各値を推定できるので、図-2 を利用することによって、被压帶水層厚さを推定されることとなる。

$$(3) \text{ 式より, 透水量係数 } T \text{ は, } T = 2.3 Q / 4\pi r^2 \quad \dots \dots \quad (7)$$

$$\text{貯留係数 } S \text{ は, } S = 2.25 T (t/r^2) \cdot \exp \left(\sum_{n=1}^{\infty} R_n K_0 (\pi r/b) \right) \quad \dots \dots \quad (8)$$

として推定できる。

3. 適用例

揚水試験を行った位置の地盤状態と各井戸の諸元、井戸間距離を図-3 に示した。各観測井での水位低下量を、先述したように横軸に t/r^2 、縦軸に Δh をとった半対数紙上に整理してみたのが、図-4 である。実際の地盤では帶水層上下の粘土層からの漏水・絞り出しによる鉛直方向の涵養が生じてあり、試験結果の後半部分には、こうした影響が表れてゐると考えられた。したがって、各観測井による試験値の後半部分を除外して解析した。その結果、表-1 に示すような各値が推定された。本地点ではボーリング調査によつて、帶水層厚さは 24m であることが明らかになつておらず、表-1 に示した帶水層厚さも調査結果と併せ一致する値を示し、本方法の妥当性がうかがわれる。

4. 参考文献

- 1) Hantush, M.S. : Drawdown around a partially penetrating well, Trans. ASCE, Vol. 127, pp. 268~283, 1962.

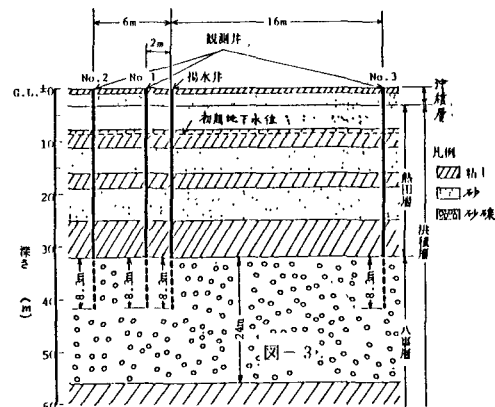


表-1 観測井	No. 1	No. 2	No. 3
帶水層定数:			
帶水層厚さ			
透水量係数 $T \text{ (cm}^2/\text{s})$	120	120	120
貯留係数 S	1.2×10^{-3}	1.4×10^{-3}	1.2×10^{-3}
帶水層厚さ $b(\text{m})$	22	26	*

* 半対数紙上で (t/r^2) の値を見つけることができない。

